

Санкт-Петербургский государственный университет
Прикладная математика и информатика
Вычислительная стохастика и статистические модели

Отчет о научно-исследовательской работе

Сенов Михаил Андреевич

РОБАСТНЫЕ ВАРИАНТЫ МЕТОДА SSA ДЛЯ АНАЛИЗА
КОМПЛЕКСНЫХ ВРЕМЕННЫХ РЯДОВ

Научный руководитель:

к. ф.-м. н., доцент Н. Э. Голяндина

Санкт-Петербург

2022

Оглавление

Введение	3
Глава 1. Алгоритм SSA и L-ранги	4
1.1. Описание алгоритма SSA (CSSA)	4
1.1.1. Вложение	4
1.1.2. Сингулярное разложение	4
1.1.3. Группировка	5
1.1.4. Диагональное усреднение	5
1.2. L-ранги гармоник	5
Глава 2. Робастные варианты CSSA.	7
2.1. Проекция по норме \mathbb{L}_1	8
2.2. Проекция по взвешенной норме \mathbb{L}_2 с итеративным обновлением весов	9
2.3. Модификация метода с итеративным обновлением весов	12
2.4. Примеры работы алгоритмов	14
2.4.1. Синтетический пример №1	14
2.4.2. Синтетический пример №2	17
Глава 3. Ошибка восстановления	20
3.1. Применение теории возмущений к SSA и CSSA	21
3.1.1. Сравнение CSSA и SSA в случае совпадающих пространств сигналов	21
3.1.2. Случай двух зашумленных синусоид	23
3.1.3. Случай константных сигналов с выбросом	24
3.2. Численное сравнение первого порядка ошибки и полной ошибки оценивания сигнала	29
3.2.1. Случай зашумленных гармоник	29
3.2.2. Случай константных сигналов с выбросом	30
Заключение	32
Список литературы	33

Введение

Временным рядом называется набор значений некоторой функции от времени, собранных в разные моменты времени.

Предположим, что временной ряд является суммой нескольких временных рядов, к примеру, тренда (медленно меняющейся составляющей), сезонной составляющей и шума. Для работы с таким рядом полезно выделить эти составляющие, поскольку работать с ними по отдельности может быть проще чем с исходным рядом, сделать это позволяет метод «Гусеница»-SSA (в дальнейшем просто SSA).

При подобном анализе возникает следующее затруднение. В данных часто возникают выделяющиеся ошибки, значительно большие, чем размер шума. Эти ошибки называются выбросами. Соответственно, возникает задача построения изначально устойчивых к выбросам модификаций SSA.

Решению данной задачи была посвящена работа [1]. Результаты были получены для вещественнозначных рядов. В реальности данные с многих приборов снимаются изначально в комплексном виде и, поэтому, задача анализа комплекснозначных временных рядов так же важна. Поэтому, целью данной работы является рассмотрение возможности переноса полученных ранее результатов на комплексный случай и их обобщение в случае неудачи.

В случае комплексного ряда возникает два способа решения задачи, применение комплексных методов или применение вещественных методов отдельно к вещественной и мнимой части. Исходя из этого, в работе проведено теоретическое сравнение CSSA и SSA, примененного отдельно к вещественной и мнимой части, на основе первого порядка ошибки оценки сигнала, где первый порядок рассматривается по величине возмущения.

В данной работе использовался подход к аналитическому вычислению ошибки восстановления и её дисперсии, описанный в работах [2], [3]. Для константного сигнала получен явный вид первого порядка ошибки его оценки в случае наличия в ряде выброса, на основе данного подхода.

Было проведено численной сравнение первого порядка ошибки с полной ошибкой восстановления, с целью показания осмысленности применения результатов для первого порядка к полной ошибке.

Глава 1

Алгоритм SSA и L-ранги

В этом разделе рассмотрим базовый алгоритм SSA, приведённый в [4]. Помимо этого, рассмотрим понятие L -ранга, применительно к случаю гармонических рядов.

1.1. Описание алгоритма SSA (CSSA)

Рассмотрим ненулевой ряд $X_N = (x_1, \dots, x_N)$, где $N > 2$. Базовый алгоритм SSA выполняет разложение исходного ряда в сумму из нескольких новых рядов и осуществляется в четыре этапа. Приведённое ниже описание так же соответствует CSSA, являющегося комплексным обобщением алгоритма SSA.

1.1.1. Вложение

Первым этапом алгоритма является построение траекторной матрицы. Пусть L — некоторое целое число (*длина окна*), $1 < L < N$

L -траекторная матрица — это матрица:

$$\mathbf{X} = \begin{pmatrix} x_1 & x_2 & \dots & x_K \\ x_2 & x_3 & \dots & x_{K+1} \\ \vdots & \vdots & & \vdots \\ x_L & x_{L+1} & \dots & x_N \end{pmatrix}, K = N - L + 1.$$

Часто данную матрицу называют просто траекторной матрицей ряда.

1.1.2. Сингулярное разложение

Вторым этапом является сингулярное разложение (SVD) траекторной матрицы ряда, оно может быть записано как:

$$\mathbf{X} = \mathbf{X}_1 + \dots + \mathbf{X}_d$$

где $\mathbf{X}_i = \sqrt{\lambda_i} U_i V_i^T$, λ_i — i -ое собственное число по убыванию матрицы $\mathbf{X}\mathbf{X}^T$, U_i — собственный вектор матрицы $\mathbf{X}\mathbf{X}^T$, соответствующий λ_i , V_i — собственный вектор матрицы $\mathbf{X}^T\mathbf{X}$, соответствующий λ_i , d — ранг матрицы \mathbf{X} .

1.1.3. Группировка

Третьим этапом является объединение в группы полученных матриц \mathbf{X}_i .

Матрица, соответствующая группе I :

$$\mathbf{X}_I = \mathbf{X}_{i_1} + \dots + \mathbf{X}_{i_r}.$$

И результат группировки:

$$\mathbf{X} = \mathbf{X}_{I_1} + \dots + \mathbf{X}_{I_l}.$$

1.1.4. Диагональное усреднение

Последним этапом является перевод каждой матрицы, соответствующей группе, в новый ряд длины N .

Пусть \mathbf{Y} — некоторая матрица $L \times K$ с элементами y_{ij} . Положим $L^* = \min(L, K)$, $K^* = \max(L, K)$, $N = L + K - 1$. Пусть $y_{ij}^* = y_{ij}$, если $L < K$, и $y_{ij}^* = y_{ji}$ иначе.

Диагональное усреднение переводит матрицу \mathbf{Y} в ряд (y_0, \dots, y_{N-1}) по формуле:

$$y_k = \begin{cases} \frac{1}{k+1} \sum_{i=1}^{k+1} y_{i,k-i+2}^* & \text{для } 0 \leq i \leq L^* - 1 \\ \frac{1}{L^*} \sum_{i=1}^{L^*} y_{i,k-i+2}^* & \text{для } L^* - 1 \leq i \leq K^* \\ \frac{1}{N-k} \sum_{i=k-K^*+2}^{N-K^*+1} y_{i,k-i+2}^* & \text{для } K^* \leq i \leq N-1 \end{cases}$$

Таким образом, мы разложили исходный ряд в сумму l новых рядов:

$$\mathbf{X}_N = \sum_{i=1}^l \mathbf{X}_{N_i}.$$

1.2. L-ранги гармоник

Определение. L -рангом ряда называется ранг его L -траекторной матрицы. Обозначим L -ранг ряда X как $\text{rk}_L X$.

Рассмотрим ряды $\mathbf{S}^{(1)} = (s_1^{(1)}, \dots, s_N^{(1)})$ и $\mathbf{S}^{(2)} = (s_1^{(2)}, \dots, s_N^{(2)})$, вида

$$s_l^{(1)} = A \cos(2\pi\omega l + \phi_1), \quad s_l^{(2)} = B \cos(2\pi\omega l + \phi_2), \quad (1.1)$$

где $0 < \omega \leq 0.5$ и $0 \leq \phi_i < 2\pi$.

Утверждение 1 ([5]). Пусть $S = S^{(1)} + iS^{(2)}$. Тогда

1. $\text{rk}_L S^{(i)} = 2$, $\text{rk}_L S = 1$, если $A = B$ и $|\phi_1 - \phi_2| = \pi/2 \pmod{\pi}$, в остальных случаях $\text{rk}_L S = 2$.

2. Если $\text{rk}_L = 2$, то пространство столбцов траекторной матрицы натянуто на вектора

$$(1, \cos(2\pi\omega), \dots, \cos(2\pi(L-1)\omega))^T, (0, \sin(2\pi\omega), \dots, \sin(2\pi(L-1)\omega))^T.$$

Пространство строк траекторной матрицы натянуто на вектора

$$(1, \cos(2\pi\omega), \dots, \cos(2\pi(K-1)\omega))^T, (0, \sin(2\pi\omega), \dots, \sin(2\pi(K-1)\omega))^T.$$

3. Если $\text{rk}_L S = 1$, то пространство столбцов траекторной матрицы S и пространство строк натянуты соответственно на вектора

$$(1, e^{i2\pi\omega}, \dots, e^{i2\pi(L-1)\omega})^T \text{ и } (1, e^{i2\pi\omega}, \dots, e^{i2\pi(K-1)\omega})^T.$$

Замечание 1. В случае $\omega = 0$ $\text{rk}_L = 1$, пространство столбцов траекторной матрицы и пространство строк натянуты на вектора

$$(1, \dots, 1)^T \text{ и } (1, \dots, 1)^T.$$

В дальнейшем L -ранг будет рассматриваться в задаче выделения сигнала и будет выполнять роль одного из параметров алгоритма SSA (CSSA).

Глава 2

Робастные варианты CSSA.

В данном разделе мы рассмотрим устойчивые к выбросам (робастные) модификации CSSA.

В терминах, рассмотренных ниже, CSSA и SSA эквивалентны, поэтому, для простоты, будем рассматривать базовый метод, SSA. Рассматриваем вариант метода SSA для выделения сигнала, когда группировка заключается в выборе первых r компонент. Для стандартного метода SSA это эквивалентно проекции по норме Фробениуса траекторной матрицы ряда на множество матриц ранга, не превосходящего r .

Пусть имеется временной ряд $\mathbf{X}_N = (x_1, \dots, x_N)$.

$\mathcal{M}_{\mathcal{H}}$ — пространство ганкелевых матриц $L \times K$,

\mathcal{M}_r — пространство матриц ранга, не превосходящего r , размера $L \times K$.

Оператор вложения $\mathcal{T} : \mathbb{R}^N(\mathbb{C}^N) \rightarrow \mathcal{M}_{\mathcal{H}} : \mathcal{T}(\mathbf{X}_N) = \mathbf{X}$,

$\Pi_r : \mathcal{M} \rightarrow \mathcal{M}_r$ — проектор на множество матриц ранга, не превосходящего r , по некоторой норме в пространстве матриц,

$\Pi_{\mathcal{H}} : \mathcal{M} \rightarrow \mathcal{M}_{\mathcal{H}}$ — проектор на пространство ганкелевых матриц по некоторой норме в пространстве матриц.

В результате применения данных операторов получаем оценку сигнала:

$$\tilde{\mathbf{S}} = \mathcal{T}^{-1} \Pi_{\mathcal{H}} \Pi_r \mathcal{T}(\mathbf{X}_N).$$

В случае, когда проекторы Π_r и $\Pi_{\mathcal{H}}$ берутся по норме в пространстве \mathbb{L}_2 , оценка сигнала соответствует алгоритму SSA, для случая, когда восстановление производится по одной группе, состоящей из первых r компонент.

Существует два известных подхода к построению устойчивых к выбросам модификаций SSA:

- Проекторы Π_r и $\Pi_{\mathcal{H}}$ строятся по норме в пространстве \mathbb{L}_1 ,
- Проекторы Π_r и $\Pi_{\mathcal{H}}$ строятся по взвешенной норме в пространстве \mathbb{L}_2 .

В работе [1] были предложены реализации обоих подходов, приведём адаптированные на комплексный случай алгоритмы ниже.

2.1. Проекция по норме \mathbb{L}_1

Пусть $\mathbf{Y} \in \mathbb{C}^{L \times K}$ — траекторная матрица ряда. Необходимо решить задачу

$$\|\mathbf{Y} - \mathbf{U}\mathbf{V}^H\|_1 \longrightarrow \min_{\mathbf{U}, \mathbf{V}}, \mathbf{U} \in \mathbb{C}^{L \times r}, \mathbf{V} \in \mathbb{C}^{K \times r}.$$

Алгоритм 1: Последовательный метод построения \mathbb{L}_1 -проектора на множество матриц ранга, не превосходящего r

Входные данные: $\mathbf{Y} \in \mathbb{C}^{L \times K}$ — траекторная матрица ряда, r — ранг сигнала; параметры критерия останова: $\varepsilon = 10^{-4}$, максимальное число итераций $N_{iter} = 10$

Выходные данные: $\hat{\mathbf{Y}} = \mathbf{U}\mathbf{V}^H$ — проекция траекторной матрицы на множество матриц ранга, не превосходящего r

Инициализация $\mathbf{V}(0) \in \mathbb{C}^{L \times r}$, нормировка столбцов $\mathbf{V}(0)$;

$t := 0$;

до тех пор, пока $\max_{\substack{i=1, \dots, L \\ j=1, \dots, r}} |u_{ij}(t) - u_{ij}(t-1)| > \varepsilon$ **и** $t < N_{iter}$ **выполнять**

$t := t + 1$; $\mathbf{U}(t) = \operatorname{argmin}_{\mathbf{U} \in \mathbb{C}^{L \times r}} \ \mathbf{Y} - \mathbf{U}\mathbf{V}^H(t-1)\ _1$; $\mathbf{V}(t) = \operatorname{argmin}_{\mathbf{V} \in \mathbb{C}^{K \times r}} \ \mathbf{Y} - \mathbf{U}(t)\mathbf{V}^H\ _1$; Нормировка столбцов $\mathbf{V}(t)$;

конец

$\mathbf{U} := \mathbf{U}(t)$; $\mathbf{V} := \mathbf{V}(t)$;

В приведённой реализации $\mathbf{V}(0)$ инициализируется при помощи сингулярного разложения, но, согласно [6], инициализация может быть произведена при помощи любой матрицы требуемого размера с сохранением сходимости.

Рассмотрим подробнее решение задачи

$$\mathbf{U}(t) = \operatorname{argmin}_{\mathbf{U} \in \mathbb{C}^{K \times r}} \|\mathbf{Y} - \mathbf{U}\mathbf{V}^H(t-1)\|_1. \quad (2.1)$$

Целевую функцию можно представить в виде

$$\|\mathbf{Y} - \mathbf{U}\mathbf{V}^H(t-1)\|_1 = \sum_{i=1}^L \|\mathbf{y}_i^H - \mathbf{V}(t-1)\mathbf{u}_i^H\|_1,$$

где $\mathbf{y}_i \in \mathbb{C}^K$ — строки \mathbf{Y} , $\mathbf{v}_i \in \mathbb{C}^r$ — строки \mathbf{U} . Согласно [6], задача (2.1) может быть

разбита на L независимых подзадач

$$\mathbf{u}_i(t) = \underset{u}{\operatorname{argmin}} \|\mathbf{y}_i^H - \mathbf{V}(t-1)\mathbf{u}^H\|_1. \quad (2.2)$$

Подзадача (2.3) в свою очередь может быть разбита на r подзадач

$$\mathbf{u}_{ic}(t) = \underset{u_c}{\operatorname{argmin}} \|\mathbf{y}_i^H - \mathbf{v}_c(t-1)\mathbf{u}_c^H\|_1. \quad (2.3)$$

Решение каждой из которых является взвешенной медианой вектора $\frac{\mathbf{y}_i}{\mathbf{v}_c(t-1)}$ с вектором весов $|\mathbf{v}_c(t-1)|$.

2.2. Проекция по взвешенной норме \mathbb{L}_2 с итеративным обновлением весов

Пусть $\mathbf{Y} \in \mathbb{C}^{L \times K}$ — траекторная матрица ряда. Необходимо решить задачу

$$\|\mathbf{W}^{1/2} \odot (\mathbf{Y} - \mathbf{U}\mathbf{V}^H)\|_F^2 \longrightarrow \min_{\mathbf{U}, \mathbf{V}}, \mathbf{U} \in \mathbb{C}^{L \times r}, \mathbf{V} \in \mathbb{C}^{K \times r}.$$

Для начала рассмотрим алгоритм с фиксированной матрицей весов.

Алгоритм 2: Алгоритм решения задачи взвешенной аппроксимации для фиксированной матрицы весов \mathbf{W}

Входные данные: $\mathbf{Y} \in \mathbb{C}^{L \times K}$ — траекторная матрица ряда, r — ранг

сигнала, $\mathbf{W} \in \mathbb{R}^{L \times K}$ — матрица весов;

параметры критерия остановки: $\varepsilon = 10^{-4}$,

максимальное число итераций $N_\alpha = 5$

Выходные данные: $\hat{\mathbf{Y}} = \mathbf{U}\mathbf{V}^H$ — решение задачи взвешенной

аппроксимации при фиксированной матрице весов

\mathbf{W}

1. $t := 0$;

2. **до тех пор, пока** $\|\mathbf{W}^{1/2} \odot (\mathbf{Y} - \mathbf{U}\mathbf{V}^H)\|_F^2 > \varepsilon$ **и** $t < N_\alpha$ **выполнять**

а. Вычисление матрицы $\mathbf{U} \in \mathbb{C}^{L \times r}$ с помощью решения задачи

$$(y_i^H - \mathbf{V}u_i^H)^H \mathbf{W}_i (y_i^H - \mathbf{V}u_i^H) \rightarrow \min_{u_i}, \quad i = 1, \dots, L, \quad (2.4)$$

где $\mathbf{W}_i = \text{diag}(w_i) \in \mathbb{R}^{K \times K}$ — матрица, составленная из i -ой строки \mathbf{W} ;

б. Вычисление матрицы $\mathbf{V} \in \mathbb{C}^{K \times r}$ с помощью решения задачи

$$(y_j - \mathbf{U}v_j^H)^H \mathbf{W}^j (y_j - \mathbf{U}v_j^H) \rightarrow \min_{v_j}, \quad j = 1, \dots, K, \quad (2.5)$$

где $\mathbf{W}^j = \text{diag}(W_j) \in \mathbb{R}^{L \times L}$ — матрица, составленная из j -го столбца \mathbf{W} ;

в. $t := t + 1$.

конец

Задачи (2.4), (2.5) решаются при помощи QR-разложения матриц $\mathbf{V}^H \mathbf{W}_i \mathbf{V}$ и $\mathbf{U}^H \mathbf{W}^j \mathbf{U}$ соответственно, алгоритм решения представлен в [7].

У авторов этого алгоритма в [8] допущена ошибка в его описании. Дело в том, что в задаче 2.4 решение линейного уравнения ищется по эрмитово-сопряжённой системе, а не изначальной, а в задаче 2.5 находится сразу \mathbf{V}^H , а не \mathbf{V} . Эта ошибка была несущественной в случае вещественной реализации в [1], так как вещественный аналог эрмитового сопряжения — транспонирование, не меняет элементы, но оказалась существенной в комплексном случае.

Теперь рассмотрим алгоритм с итеративным обновлением весов.

Алгоритм 3: Метод с итеративным обновлением весов для нахождения проекции на множество матриц ранга, не превосходящего r

Входные данные: $\mathbf{Y} \in \mathbb{C}^{L \times K}$ — траекторная матрица ряда, r — ранг сигнала; параметр весовой функции $\alpha = 4.685$;
параметры критерия остановки: $\varepsilon = 10^{-4}$,
максимальное число итераций $N_{iter} = 10$

Выходные данные: $\hat{\mathbf{Y}} = \mathbf{U}\mathbf{V}^H$ — проекция траекторной матрицы на множество матриц ранга, не превосходящего r

Инициализация $\mathbf{U} \in \mathbb{C}^{L \times r}$ и $\mathbf{V}(0) \in \mathbb{C}^{K \times r}$ (например, с помощью сингулярного разложения матрицы \mathbf{Y});

$t := 0$;

до тех пор, пока $\|\mathbf{W}^{\frac{1}{2}} \odot (\mathbf{Y} - \mathbf{U}\mathbf{V}^H)\|_F^2 > \varepsilon$ **и** $t < N_{iter}$ **выполнять**

Вычисление матрицы остатков $\mathbf{R} = \{r_{ij}\}_{i,j=1}^{n,p} = \mathbf{Y} - \mathbf{U}\mathbf{V}^H$;

Обновление матрицы $\Sigma = \{\sigma_{ij}\}_{i,j=1}^{L,K}$;

Вычисление матрицы весов $\mathbf{W} = \{w_{ij}\}_{i,j=1}^{L,K} = \{w(\frac{r_{ij}}{\sigma_{ij}})\}_{i,j=1}^{L,K}$, используя

$$w(x) = \begin{cases} (1 - (\frac{|x|}{\alpha})^2)^2 & |x| \leq \alpha \\ 0 & |x| > \alpha \end{cases};$$

Решение задачи взвешенной аппроксимации (обновление матриц \mathbf{U} , \mathbf{V})

$$\|\mathbf{W}^{\frac{1}{2}} \odot (\mathbf{Y} - \mathbf{U}\mathbf{V}^H)\|_F^2 \longrightarrow \min_{\mathbf{U}, \mathbf{V}},$$

при помощи алгоритма 2;

конец

Данный алгоритм был предложен в [8], авторы предложили взять $\alpha = 4.685$, $N_\alpha = 5$ и $N_{iter} = 10$, ссылаясь на численные эксперименты.

Параметр сигма предлагается взять равным $\sigma_{ij} = \sigma = 1.4826 \text{ med } |\mathbf{X}R - \text{med } |\mathbf{X}R||$, где $\mathbf{X}R$ — это вектор, составленный из всех элементов матрицы остатков $\mathbf{R} = \{r_{ij}\}_{i,j=1}^{L,K}$, то есть

$$\mathbf{X}R = (r_{11}, \dots, r_{1K}; r_{21}, \dots, r_{2K}; \dots; r_{L1}, \dots, r_{LK}).$$

Данная оценка предлагается авторами ввиду её робастности.

2.3. Модификация метода с итеративным обновлением весов

У представленного выше алгоритма есть одна важная проблема, а именно, выбор параметра σ_{ij} не зависящим от i и j . В случае не стационарных рядов выявление выбросов может происходить неверно. Например, если шум растёт к концу ряда, то выбросы в начале ряда могут получить больший вес, чем не выбросы в конце ряда. В [1] была приведена модификация алгоритма, призванная решить эту проблему. Здесь же мы рассмотрим её комплексную адаптацию.

Ключевая задача параметра σ_{ij} — приписывание определённого веса определённому элементу ряда, чем элемент больше похож на выброс, тем больше сигма и наоборот. Ввиду такой интерпретации логично рассматривать сигмы как ряд, идущий дополнением к данному $\sigma = (\sigma_1, \dots, \sigma_N)$, а после, ганкелизацией привести этот ряд к матричному виду $\Sigma = \{\sigma_{ij}\}_{i,j=1}^{L,K}$. Сам же ряд σ автор [1] предлагает взять равным тренду (математическому ожиданию) ряда из модулей остатков. Это предложение справедливо и для комплексного случая, так как в комплексном случае выброс характеризуется величиной модуля.

Теперь рассмотрим сам алгоритм.

Алгоритм 4: Модификация метода с итеративным обновлением весов для нахождения проекции на множество матриц ранга, не превосходящего r

Входные данные: $\mathbf{Y} \in \mathbb{C}^{L \times K}$ — траекторная матрица ряда, r — ранг сигнала;
 параметр весовой функции $\alpha = 4.685$; параметры критерия
 остановки: $\varepsilon = 10^{-4}$, максимальное число итераций $N_{iter} = 10$
Выходные данные: $\hat{\mathbf{Y}} = \mathbf{U}\mathbf{V}^T$ — проекция траекторной матрицы на множество
 матриц ранга, не превосходящего r

1. Инициализация $\mathbf{U} \in \mathbb{C}^{L \times r}$ и $\mathbf{V} \in \mathbb{C}^{K \times r}$ (например, с помощью сингулярного разложения матрицы \mathbf{Y});
2. $t := 0$;
3. **повторять**

- a. Вычисление матрицы остатков $\mathbf{R} = \{r_{ij}\}_{i,j=1}^{n,p} = \mathbf{Y} - \mathbf{U}\mathbf{V}^H$;
- b. Ганкелизация матрицы \mathbf{R} и получение ряда длины N из остатков:
 $\mathbf{R} = \mathcal{T}^{-1}\Pi_{\mathcal{H}}(\mathbf{R}) = (r_1, \dots, r_N)$;
- c. Пусть $\mathbf{R}_+ = (|r_1|, \dots, |r_N|)$ — ряд из модулей остатков. Вычисление
 $\boldsymbol{\sigma} = (\sigma_1, \dots, \sigma_N)$ как оценки мат. ожидания $\mathbb{E}(\mathbf{X}\mathbf{R}_+)$ некоторым методом;
- d. Получение матрицы $\boldsymbol{\Sigma} = \{\sigma_{ij}\}_{i,j=1}^{L,K} = \mathcal{T}(\boldsymbol{\sigma})$;
- e. Вычисление матрицы весов $\mathbf{W} = \{w_{ij}\}_{i,j=1}^{L,K} = \{w(\frac{r_{ij}}{\sigma_{ij}})\}_{i,j=1}^{L,K}$, используя

$$w(x) = \begin{cases} (1 - (\frac{|x|}{\alpha})^2)^2, & |x| \leq \alpha \\ 0, & |x| > \alpha \end{cases}$$

- f. Решение задачи взвешенной аппроксимации (обновление матриц \mathbf{U} и \mathbf{V})

$$\left\| \mathbf{W}^{1/2} \odot (\mathbf{Y} - \mathbf{U}\mathbf{V}^H) \right\|_F^2 \rightarrow \min_{\mathbf{U}, \mathbf{V}}$$

- g. $t := t + 1$.

до тех пор, пока $\left\| \mathbf{W}^{1/2} \odot (\mathbf{Y} - \mathbf{U}\mathbf{V}^H) \right\|_F^2 > \varepsilon$ и $t < N_{IRLS}$;

Преимуществом данного алгоритма, является то, что пользователь сам может выбрать, каким методом он хочет вычислять матожидание ряда. В приведённой реализации представлены три метода: локальная регрессия loess, скользящая медиана и взвешенная локальная регрессия lowess.

2.4. Примеры работы алгоритмов

В данном разделе мы приведём несколько примеров комплексных временных рядов и сравним результаты работы методов.

Сравнение будет проводиться по величине среднеквадратичной ошибки, согласованной с \mathbb{L}_2 , которая вычисляется по формуле

$$\text{MSE} = \mathbb{E} \left(\frac{1}{N} \sum_{i=1}^N (s_i - \hat{s}_i)^2 \right), \quad (2.6)$$

где $\mathbf{X}S = (s_1, \dots, s_N)^T$ — сигнал, $\hat{\mathbf{X}}S = (\hat{s}_1, \dots, \hat{s}_N)^T$ — его оценка. Будем вычислять

$$\text{RMSE} = \sqrt{\text{MSE}}.$$

Так же будем проверять значимость сравнения, для этого будем использовать гипотезу, что MSE для некоторых методов равны между собой.

$H_0 : \mathbb{E}(\xi_1 - \xi_2) = 0$. Имеем две выборки $X = (x_1, \dots, x_M)$ и $Y = (y_1, \dots, y_M)$ объема M . Обозначим \bar{X} и \bar{Y} — их выборочные средние, s_x^2 и s_y^2 — выборочные дисперсии, $\hat{\rho}$ — коэффициент корреляции. Статистика критерия

$$t = \frac{\sqrt{M}(\bar{X} - \bar{Y})}{\sqrt{s_x^2 + s_y^2 - 2s_x s_y \hat{\rho}}}$$

имеет асимптотически нормальное распределение.

Шум в примерах будет иметь стандартное комплексное нормальное распределение. Определим, что это значит.

Определение. *Комплексная случайная величина Z имеет стандартное комплексное нормальное распределение, если*

1. $\text{Re}(Z)$ и $\text{Im}(Z)$ независимы,
2. $\text{Re}(Z), \text{Im}(Z) \sim N(0, 1/2)$.

И обозначается $Z \sim CN(0, 1)$.

2.4.1. Синтетический пример №1

Рассмотрим ряд с постоянной амплитудой и шумом постоянной дисперсии. Длину ряда возьмём $N = 240$

$$x_n = e^{2n\pi/30i} + \varepsilon_n, \quad \varepsilon_n \sim CN(0, 1).$$

Рассмотрим результаты работы методов для такого ряда (2.1). В таблице 2.2 представлены p-value для сравнения методов с лучшим. Ранг ряда равен 1.

Таблица 2.1. Оценки RMSE различных методов для $M = 30$ реализаций ряда без выбросов.

Method	CSSA	L1	weighted L2	loess L2	median L2	lowess L2
RMSE	0.1016	0.125	0.1017	0.103	0.105	0.104

Таблица 2.2. p-value для сравнения различных методов с наилучшим без выбросов.

Method	L1	weighted L2	loess L2	median L2	lowess L2
CSSA	1.5e-06	0.91	0.69	0.24	0.43

В случае отсутствия выбросов лучший результат показывают метод Complex SSA, но сравнение значимо только с методом проекции на \mathbb{L}_1 .

Теперь добавим к ряду 5% выбросов с величиной выброса $5x_i$. Графики ряда представлены на Рис. 2.1, 2.2.

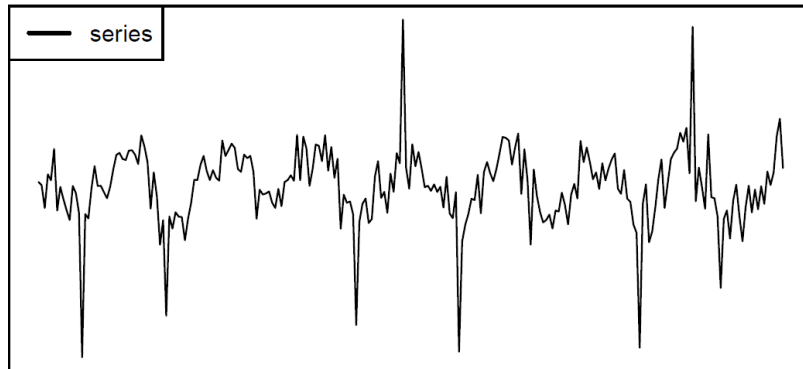


Рис. 2.1. График вещественной части ряда.

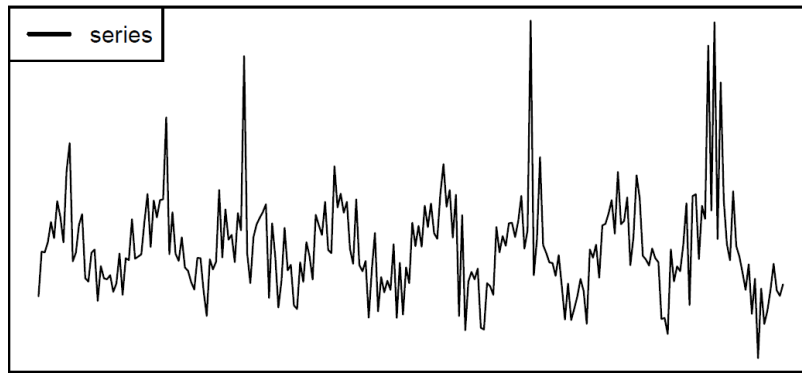


Рис. 2.2. График мнимой части ряда.

Графики результатов анализа представлены в Рис. 2.3, 2.4. В таблице 2.3 представлены сравнения ошибок для различных методов. В таблице 2.4 представлены p-value для сравнения методов с лучшим. Длина окна взята $L = 120$.

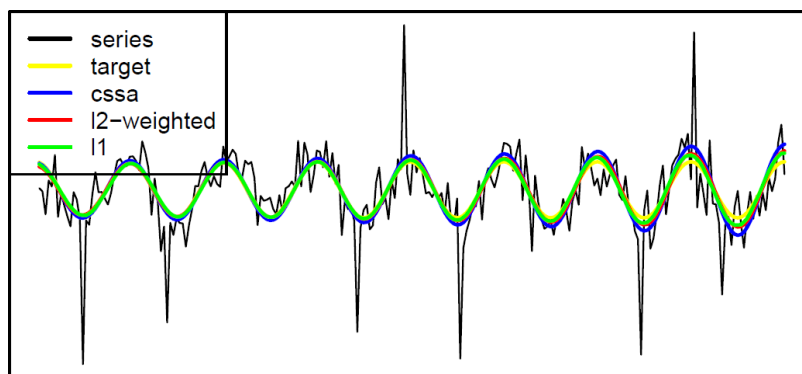


Рис. 2.3. Вещественная часть выделения тренда несколькими способами.

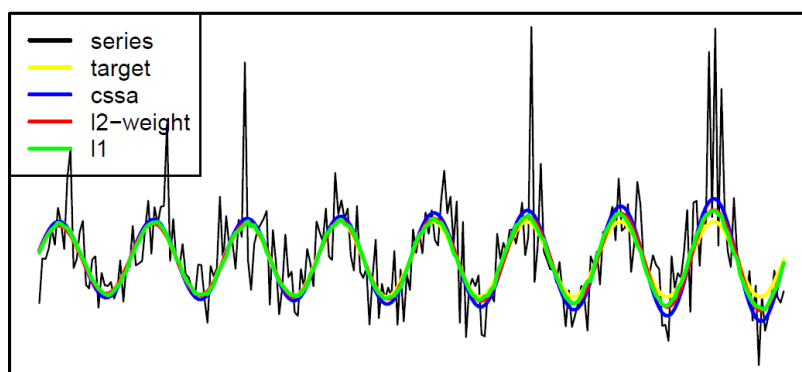


Рис. 2.4. Мнимая часть выделения тренда несколькими способами.

Таблица 2.3. Оценки RMSE различных методов для $M = 30$ реализаций ряда с выбросами.

Method	CSSA	L1	weighted L2	loess L2	median L2	lowess L2
RMSE	0.285	0.147	0.158	0.112	0.114	0.114

Таблица 2.4. p-value для сравнения различных методов с наилучшим с выбросами.

Method	CSSA	L1	weighted L2	median L2	lowess L2
loess L2	0	7.7e-13	4.1e-10	0.134	0.262

В случае наличия выбросов метод loess проекции на \mathbb{L}_2 показал наилучший результат, за исключением того, что сравнения с другими вариациями модифицированной взвешенной проекции незначимы.

2.4.2. Синтетический пример №2

Рассмотрим ряд с растущей амплитудой и шумом непостоянной дисперсии. Длину ряда возьмём $N = 240$

$$x_n = e^{4n/N} e^{2n\pi/30i} + \frac{1}{2} e^{4n/N} \varepsilon_n, \quad \varepsilon_n \sim CN(0, 1).$$

Рассмотрим результаты работы методов для такого ряда (2.5). В таблице 2.6 представлены p-value для сравнения методов с лучшим. Ранг ряда равен 1.

Таблица 2.5. Оценки RMSE различных методов для $M = 30$ реализаций ряда без выбросов.

Method	CSSA	L1	weighted L2	loess L2	median L2	lowess L2
RMSE	1.28	1.52	1.90	1.36	1.43	1.37

Таблица 2.6. p-value для сравнения различных методов с наилучшим без выбросов.

Method	L1	weighted L2	loess L2	median L2	lowess L2
CSSA	0.005	0.0001	0.001	7.6e-5	0.0007

В случае отсутствия выбросов лучший результат показывает Complex SSA. Здесь же видно, что модифицированный метод взвешенной проекции справляется с не стационарным рядом куда лучше чем классический, к примеру, сравнивая классический и loess, сравнение является значимым с $p\text{-value} = 0.0005$.

Теперь добавим к ряду 5% выбросов с величиной выброса $5x_i$. Графики ряда представлены на Рис. 2.5, 2.6.

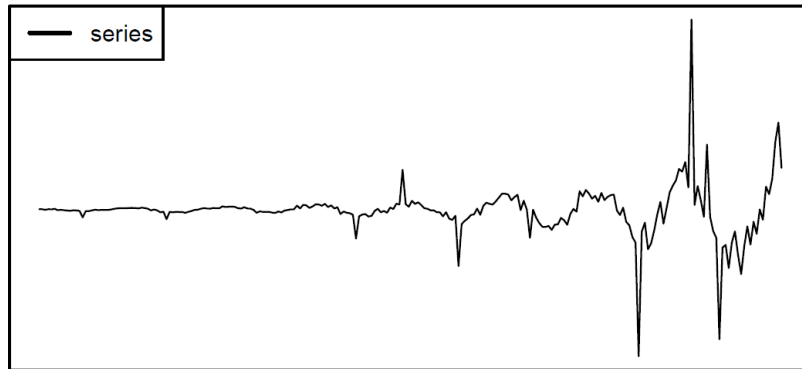


Рис. 2.5. График вещественной части ряда.

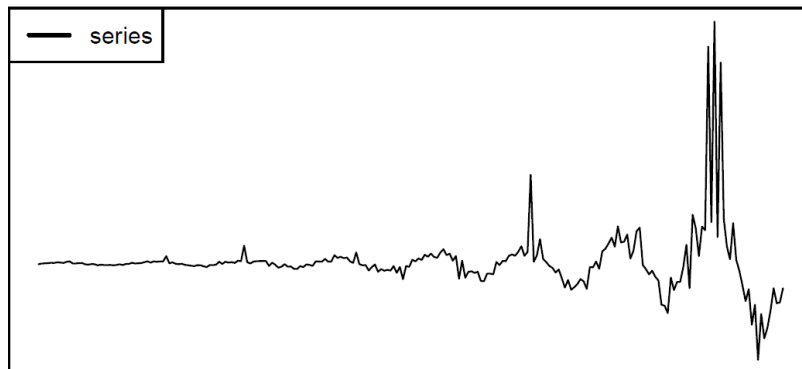


Рис. 2.6. График мнимой части ряда.

Графики результатов анализа представлены на Рис. 2.7, 2.8. В таблице 2.7 представлены сравнения ошибок для различных методов. В таблице 2.8 представлены $p\text{-value}$ для сравнения методов с лучшим. Длина окна взята $L = 120$.

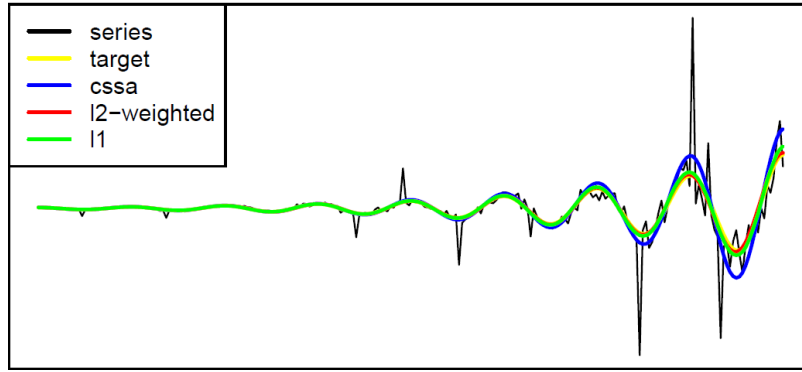


Рис. 2.7. Вещественная часть выделения тренда несколькими способами.

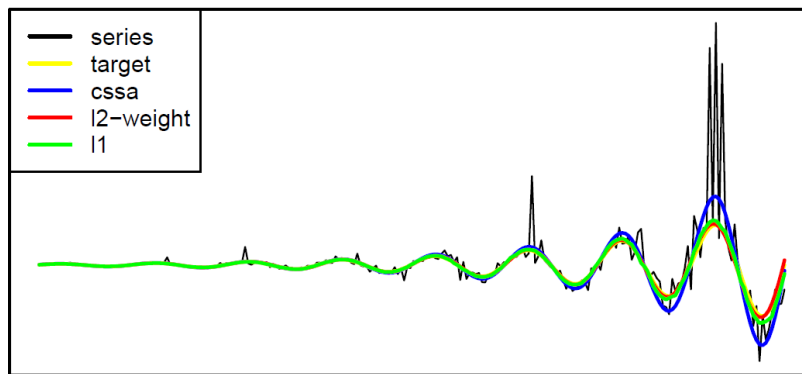


Рис. 2.8. Мнимая часть выделения тренда несколькими способами.

Таблица 2.7. Оценки RMSE различных методов для $M = 30$ реализаций ряда с выбросами.

Method	CSSA	L1	weighted L2	loess L2	median L2	lowess L2
RMSE	6.14	1.78	1.66	1.48	1.50	1.49

Таблица 2.8. p-value для сравнения различных методов с наилучшим с выбросами.

Method	CSSA	L1	weighted L2	median L2	lowess L2
loess L2	3.5e-16	0.005	0.13	0.387	0.28

В случае присутствия выбросов метод loess проекции на \mathbb{L}_2 показывает себя наилучшим образом на данном примере, однако сравнения с взвешенным \mathbb{L}_2 , median \mathbb{L}_2 и lowess \mathbb{L}_2 не являются значимыми.

Глава 3

Ошибка восстановления

В работе были рассмотрены комплексные обобщения методов, приведённых в [1]. Комплексный временной ряд представляется через свою вещественную и мнимую части, к каждой из которых можно применить вещественный метод и, таким образом, получить оценку комплексного сигнала. Исходя из этого, возникает вопрос, насколько осмыслены комплексные обобщения методов? В данном разделе мы постараемся ответить на данный вопрос, с точки зрения ошибки восстановления, на примере сравнения CSSA с SSA.

Пусть наблюдаемый комплексный временной ряд имеет вид $X = S + R$. Для получения оценки сигнала будем использовать метод CSSA. Кроме применения CSSA ко всему ряду, будем также применять метод SSA отдельно к вещественной и мнимой части ряда X .

Для анализа ошибки оценивания сигнала используется теория возмущений [9], которая была применена для случая выделения сигнала методом SSA в ряде работ, см., например, [10].

Хотя теория возмущения Като дает вид полной ошибки, однако ее исследование представляется сложной задачей. Поэтому мы будем рассматривать только первый порядок ошибки в разложении ошибки по величине возмущения.

При этом проведем численное сравнение первого порядка ошибки и полной ошибки для выявления случаев, когда анализ первого порядка ошибки плохо описывает полную ошибку и поэтому его анализ не представляет интереса.

Даже для первого порядка ошибки получение его явного вида — довольно трудоемкая задача. Нам удалось его получить для случая константного сигнала и возмущения в виде выброса. В общем случае результаты касаются сравнения MSE ошибок оценки сигнала методом CSSA и суммарного MSE при применении SSA отдельно к мнимой и вещественной частям.

3.1. Применение теории возмущений к SSA и CSSA

Наблюдаем комплексный временной ряд \mathbf{X} длины N , данный ряд представляется как $\mathbf{X} = \mathbf{S} + \mathbf{R}$, где \mathbf{S} — сигнал ранга r , \mathbf{R} — возмущение. Возьмем некоторую длину окна L , $L > r$.

В [10] вводится разложение восстановления сигнала в модели $\mathbf{S}(\delta) = \mathbf{S} + \delta\mathbf{R}$, что соответствует $\mathbf{H}(\delta) = \mathbf{H} + \delta\mathbf{E}$, где $\mathbf{H}(\delta) = \mathcal{T}_L\mathbf{S}(\delta)$, $\mathbf{H} = \mathbf{S}(\delta)\mathbf{S}$, $\delta\mathbf{E} = \delta\mathbf{R}$, и рассматривается линейный по δ член ошибки восстановления, называемый первым порядком ошибки восстановления.

Рассмотрим возмущение ряда \mathbf{R} с $\delta = 1$, его траекторная матрица \mathbf{E} . Первый порядок ошибки восстановления обозначим как $\mathbf{F}^{(1)} = \mathcal{H}(\mathbf{H}^{(1)})$.

На основе результатов из [11, стр.12] и теоремы 2.1 из [10] была получена следующая формула для $\mathbf{H}^{(1)}$ в случае достаточно маленького возмущения.

$$\mathbf{H}^{(1)}(\mathbf{R}, \mathbf{S}) = \mathbf{P}_0^\perp \mathbf{E} \mathbf{Q}_0 + \mathbf{P}_0 \mathbf{E}, \quad (3.1)$$

где \mathbf{P}_0 — проектор на пространство столбцов \mathbf{H} , \mathbf{Q}_0 — проектор на пространство строк \mathbf{H} , $\mathbf{P}_0^\perp = \mathbf{I} - \mathbf{P}_0$, \mathbf{I} — единичная матрица.

3.1.1. Сравнение CSSA и SSA в случае совпадающих пространств сигналов

Обозначим за:

$\mathbf{F}^{(1)} = \mathcal{H}(\mathbf{H}^{(1)}(\mathbf{R}, \mathbf{S}))$ первый порядок ошибки восстановления \mathbf{S} с возмущением \mathbf{R} метода CSSA,

$\mathbf{F}_{\text{Re}}^{(1)} = \mathcal{H}(\mathbf{H}^{(1)}(\text{Re}(\mathbf{R}), \text{Re}(\mathbf{S})))$ первый порядок ошибки восстановления $\text{Re}(\mathbf{S})$ с возмущением $\text{Re}(\mathbf{R})$ метода SSA,

$\mathbf{F}_{\text{Im}}^{(1)} = \mathcal{H}(\mathbf{H}^{(1)}(\text{Im}(\mathbf{R}), \text{Im}(\mathbf{S})))$ первый порядок ошибки восстановления $\text{Im}(\mathbf{S})$ с возмущением $\text{Im}(\mathbf{R})$ метода SSA.

Теорема 1. Пусть пространства столбцов траекторных матриц рядов \mathbf{S} , $\text{Re}(\mathbf{S})$ и $\text{Im}(\mathbf{S})$ совпадают и то же самое верно для пространств строк. Тогда при любом достаточно малым возмущении \mathbf{R}

$$\mathbf{F}^{(1)} = \mathbf{F}_{\text{Re}}^{(1)} + i\mathbf{F}_{\text{Im}}^{(1)}.$$

Доказательство. Рассмотрим матрицу возмущения $\mathbf{E} = \text{Re}(\mathbf{E}) + i \text{Im}(\mathbf{E})$.

Заметим, что в (3.1) \mathbf{E} входит линейно, это означает, что

$$\mathbf{H}^{(1)}(\mathbf{R}, \mathbf{S}) = \mathbf{H}^{(1)}(\text{Re}(\mathbf{R}), \mathbf{S}) + i\mathbf{H}^{(1)}(\text{Im}(\mathbf{R}), \mathbf{S}). \quad (3.2)$$

Тогда, из (3.2), линейности диагонального усреднения и совпадения траекторных пространств, получаем

$$\begin{aligned} \mathbf{F}^{(1)} &= \mathcal{H}(\mathbf{H}^{(1)}(\mathbf{R}, \mathbf{S})) = \mathcal{H}(\mathbf{H}^{(1)}(\text{Re}(\mathbf{R}), \mathbf{S})) + i\mathcal{H}(\mathbf{H}^{(1)}(\text{Im}(\mathbf{R}), \mathbf{S})) = \\ &= \mathcal{H}(\mathbf{H}^{(1)}(\text{Re}(\mathbf{R}), \text{Re}(\mathbf{S}))) + i\mathcal{H}(\mathbf{H}^{(1)}(\text{Im}(\mathbf{R}), \text{Im}(\mathbf{S}))) = \mathbf{F}_{\text{Re}}^{(1)} + i\mathbf{F}_{\text{Im}}^{(1)} \end{aligned}$$

□

Заметим, что хотя в утверждении теоремы возмущение \mathbf{R} может быть любым по форме, однако теорема имеет практическое применение только если первый порядок ошибки адекватно описывает полную ошибку.

Случайное возмущение

Рассмотрим случайное возмущение \mathbf{R} .

Для дальнейших рассуждений приведём известный результат.

Лемма 1. Пусть $\zeta = \xi + i\eta$. Тогда $\mathbb{D}\zeta = \mathbb{D}\xi + \mathbb{D}\eta$.

Доказательство.

$$\begin{aligned} \mathbb{D}\zeta &= \mathbb{E}(|\zeta - \mathbb{E}\zeta|^2) = \mathbb{E}(|(\xi - \mathbb{E}\xi) + i(\eta - \mathbb{E}\eta)|^2) = \\ &= \mathbb{E}((\xi - \mathbb{E}\xi)^2 + (\eta - \mathbb{E}\eta)^2) = \mathbb{E}(\xi - \mathbb{E}\xi)^2 + \mathbb{E}(\eta - \mathbb{E}\eta)^2 = \mathbb{D}\xi + \mathbb{D}\eta. \end{aligned}$$

□

Рассмотрим первые порядки ошибок восстановления:

$$\mathbf{F}^{(1)} = (f_1^{(1)}, \dots, f_N^{(1)}), \mathbf{F}_{\text{Re}}^{(1)} = (f_{\text{Re},1}^{(1)}, \dots, f_{\text{Re},N}^{(1)}), \mathbf{F}_{\text{Im}}^{(1)} = (f_{\text{Im},1}^{(1)}, \dots, f_{\text{Im},N}^{(1)}).$$

Следствие 1 (из теоремы 1). Пусть выполнены условия теоремы 1. Тогда для любого l , $1 \leq l \leq N$,

$$\mathbb{D}f_l^{(1)} = \mathbb{D}f_{\text{Re},l}^{(1)} + \mathbb{D}f_{\text{Im},l}^{(1)}. \quad (3.3)$$

Утверждение получается автоматически из теоремы 1 и леммы 1.

3.1.2. Случай двух зашумленных синусоид

Пусть сигнал $\mathbf{S} = (s_1, \dots, s_N)$ имеет вид

$$s_l = A \cos(2\pi\omega l + \phi_1) + iB \cos(2\pi\omega l + \phi_2), \quad (3.4)$$

где $0 < \omega \leq 0.5$ и $0 \leq \phi_i < 2\pi$. Заметим, что случай $|\phi_1 - \phi_2| = \pi/2 \pmod{\pi}$ и $A = B$ соответствует комплексной экспоненте.

Пусть возмущение \mathbf{R} — шум, т.е. случайный вектор с нулевым матожиданием и достаточно малой дисперсией.

Следствие 2 (из теоремы 1). *Для комплексного ряда вида (3.4), кроме случая $|\phi_1 - \phi_2| = \pi/2 \pmod{\pi}$ и $A = B$, выполняется формула (3.3).*

Выполнение условий теоремы 1 (совпадение столбцовых и строковых траекторных пространств сигналов) для ряда вида (3.4) следует из результатов [5] (утверждение 1).

Замечание 2. Численные эксперименты, проведённые в [12], показывают, что для сигнала в виде комплексной экспоненты суммарная MSE CSSA-оценки сигнала равна полусумме суммарных MSE SSA-оценок сигнала его вещественной и мнимой частей. Следствие 2 является теоретическим обоснованием данного результата.

Наиболее распространённым видом сигналов в случае реальных комплексных временных рядов, является комплексная экспонента. Однако, по утверждению 1 условия теоремы 1 для такого сигнала не выполняются. А, соответственно, и формула (3.3) неприменима.

Утверждение 2. *Для сигнала случая комплексной экспоненты, с возмущением \mathbf{R} выполняется*¹

$$\mathbb{D}(f_l^{(1)}) \stackrel{?}{=} \frac{1}{2} [\mathbb{D}(f_{\text{Re},l}^{(1)}) + \mathbb{D}(f_{\text{Im},l}^{(1)})]. \quad (3.5)$$

Формула (3.5) была проверена численно.²

¹ утверждение ли?

² надо ли приводить численный эксперимент? если надо, то как оформлять, непонятно.

3.1.3. Случай константных сигналов с выбросом

Рассматриваем сигнал $\mathbf{S} = (c_1 + ic_2, \dots, c_1 + ic_2)$, возмущённый выбросом $a_1 + ia_2$ на позиции k , т.е. ряд \mathbf{R} состоит из нулей кроме значения $a_1 + ia_2$ на k -м месте. Исходя из теоремы 1, достаточно уметь вычислять первый порядок ошибки восстановления сигнала $\mathbf{S} = (c, \dots, c)$, возмущённого выбросом a на позиции k .

В работе [2] была получен частный случай формулы (3.1) для вещественных сигналов единичного ранга:

$$\mathbf{H}^{(1)}(\mathbf{R}, \mathbf{S}) = -U^T \mathbf{E} V U V^T + U U^T \mathbf{E} + \mathbf{E} V V^T, \quad (3.6)$$

где U, V — сингулярные вектора матрицы \mathbf{H} .

Матрица возмущения для выброса a

$$\mathbf{E}^T = \begin{pmatrix} 0 & 0 & 0 & \dots & a & \dots & 0 \\ \vdots & \vdots & \vdots & & \vdots & & \vdots \\ 0 & 0 & a & \dots & 0 & \dots & 0 \\ 0 & a & 0 & \dots & 0 & \dots & 0 \\ a & 0 & 0 & \dots & 0 & \dots & 0 \\ \vdots & \vdots & \vdots & & \vdots & & \vdots \\ 0 & 0 & 0 & \dots & 0 & \dots & 0 \end{pmatrix} \in \mathbb{R}^{K \times L}.$$

Для сигнала $\mathbf{S} = (c, \dots, c)$

$$U = \{1/\sqrt{L}\}_{i=1}^L, \quad V = \{1/\sqrt{K}\}_{i=1}^K, \quad K = N - L + 1,$$

Не умаляя общности, будем считать, что $L \leq K$.

Случай $1 \leq k < L$

Рассмотрим члены суммы из формулы (3.6) покомпонентно.

Часть первого слагаемого

$$U^T \mathbf{E} = \begin{pmatrix} a/\sqrt{L} & \dots & a/\sqrt{L} & 0 & \dots & 0 \end{pmatrix}$$

Часть первого слагаемого

$$U^T \mathbf{E} V = ka/\sqrt{LK}$$

Часть первого слагаемого

$$UV^T = \begin{pmatrix} 1/\sqrt{LK} & \dots & 1/\sqrt{LK} \\ \vdots & & \vdots \\ 1/\sqrt{LK} & \dots & 1/\sqrt{LK} \end{pmatrix} \in \mathbb{R}^{L \times K}$$

Теперь первое слагаемое целиком

$$U^T \mathbf{E} V U V^T = \begin{pmatrix} ka/LK & \dots & ka/LK \\ \vdots & & \vdots \\ ka/LK & \dots & ka/LK \end{pmatrix}$$

Часть второго слагаемого

$$U U^T = \begin{pmatrix} 1/L & \dots & 1/L \\ \vdots & & \vdots \\ 1/L & \dots & 1/L \end{pmatrix} \in \mathbb{R}^{L \times L}$$

Теперь второе слагаемое целиком

$$U U^T \mathbf{E} = \begin{pmatrix} a/L & \dots & a/L & \dots & 0 \\ \vdots & & \vdots & & \vdots \\ a/L & \dots & a/L & \dots & 0 \end{pmatrix}$$

Часть третьего слагаемого

$$V V^T = \begin{pmatrix} 1/K & \dots & 1/K \\ \vdots & & \vdots \\ 1/K & \dots & 1/K \end{pmatrix} \in \mathbb{R}^{K \times K}$$

Теперь третье слагаемое целиком

$$\mathbf{E} V V^T = \begin{pmatrix} a/K & \dots & a/K \\ \vdots & & \vdots \\ a/K & \dots & a/K \\ \vdots & & \vdots \\ 0 & \dots & 0 \end{pmatrix}$$

Итоговая матрица

$$\mathbf{H}^{(1)}(\mathbf{R}, \mathbf{S}) = \frac{a}{LK} \begin{pmatrix} (L+K-k) & \dots & (L+K-k) & \dots & (L-k) \\ \vdots & & \vdots & & \vdots \\ (L+K-k) & \dots & (L+K-k) & \dots & (L-k) \\ \vdots & & \vdots & & \vdots \\ (K-k) & \dots & (K-k) & \dots & -k \end{pmatrix}$$

$$\mathbf{F}^{(1)} = \mathcal{H}(\mathbf{H}^{(1)}(\mathbf{R}, \mathbf{S}))$$

$$k \leq L/2$$

$$k \leq K - L$$

$$f_l^{(1)} = \frac{a}{LK} \begin{cases} (L + K - k), & 1 \leq l \leq k \\ \frac{1}{l}(L + K - l)k, & k < l \leq L \\ \frac{1}{L}K(L + k - l), & L < l < L + k \\ 0, & L + k \leq l \leq K \\ \frac{1}{N-l+1}(K - l)(L - k), & K < l < K + k \\ -k, & K + k \leq l \leq N \end{cases}.$$

$$k \leq L/2$$

$$k > K - L$$

$$f_l^{(1)} = \frac{a}{LK} \begin{cases} (L + K - k), & 1 \leq l \leq k \\ \frac{1}{l}(L + K - l)k, & k < l \leq L \\ \frac{1}{L}K(L + k - l), & L < l < K \\ \frac{1}{N-l+1}(2KL - l(L + K - k)), & K \leq l \leq L + k \\ \frac{1}{N-l+1}(K - l)(L - k), & L + k < l < K + k \\ -k, & K + k \leq l \leq N \end{cases}.$$

$$k > L/2$$

$$k \leq K - L$$

$$f_l^{(1)} = \frac{a}{LK} \begin{cases} (L + K - k), & 1 \leq l \leq k \\ \frac{1}{l}(L + K - l)k, & k < l < L \\ \frac{1}{L}K(L + k - l), & L \leq l < L + k \\ 0, & L + k \leq l \leq K \\ \frac{1}{N-l+1}(L - K)(L - k), & K < l < K + k \\ -k, & K + k \leq l \leq N \end{cases}.$$

$$k > \max(L/2, K - L)$$

$$k \leq K/2$$

$$f_l^{(1)} = \frac{a}{LK} \begin{cases} (L + K - k), & 1 \leq l \leq k \\ \frac{1}{l}(L + K - l)k, & k < l < L \\ \frac{1}{L}K(L + k - l), & L \leq l < K \\ \frac{1}{N-l+1}(2KL - l(L + K - k)), & K \leq l \leq L + k \\ \frac{1}{N-l+1}(L - K)(L - k), & L + k < l < K + k \\ -k, & K + k \leq l \leq N \end{cases}.$$

$$k > K/2$$

$$f_l^{(1)} = \frac{1}{LK} \begin{cases} (L + K - k), & 1 \leq l \leq k \\ \frac{1}{l}(L + K - l)k, & k < l < L \\ \frac{1}{L}K(L + k - l), & L \leq l < K \\ \frac{1}{N-l+1}(2KL - l(L + K - k)), & K \leq l \leq L + k \\ \frac{1}{N-l+1}(K - l)(L - k), & L + k < l < K + k \\ -k, & K + k \leq l \leq N \end{cases}.$$

Случай $L \leq k \leq K$

Первое слагаемое

$$U^T \mathbf{E} V U V^T = \begin{pmatrix} a/K & \dots & a/K \\ \vdots & & \vdots \\ a/K & \dots & a/K \end{pmatrix}$$

Второе слагаемое

$$U U^T \mathbf{E} = \begin{pmatrix} 0 & \dots & a/L & \dots & a/L & \dots & 0 \\ \vdots & & \vdots & & \vdots & & \vdots \\ 0 & \dots & a/L & \dots & a/L & \dots & 0 \end{pmatrix}$$

Третье слагаемое

$$\mathbf{E}V V^T = \begin{pmatrix} a/K & \dots & a/K \\ \vdots & & \vdots \\ a/K & \dots & a/K \end{pmatrix}$$

Итоговая матрица

$$\mathbf{H}^{(1)}(\mathbf{R}, \mathbf{S}) = \frac{a}{L} \begin{pmatrix} 0 & \dots & 1 & \dots & 1 & \dots & 0 \\ \vdots & & \vdots & & \vdots & & \vdots \\ 0 & \dots & 1 & \dots & 1 & \dots & 0 \end{pmatrix}$$

$$f_l^{(1)} = \frac{a}{L} \begin{cases} \frac{1}{\min(L, l)}(l - k + L), & k - L \leq l \leq k \\ \frac{1}{\min(L, N-l+1)}(L + k - l), & k < l < L + k \\ 0, & \text{иначе} \end{cases}$$

Случай $K < k \leq N$

Данный случай полностью аналогичен инвертированному первому случаю, то есть строим ряд для $N - k + 1$ и разворачиваем его.

Полученные формулы были численно проверены для частного случая.

Замечание 3. Из полученных формул видно, что при фиксированном L первый порядок ошибки не стремится к 0 с ростом N , тогда как численные эксперименты показывают, что полная ошибка восстановления стремится к 0 с ростом N . Как показано в разделе 3.2, это следствие того, что полная ошибка не описывается ее первым порядком. Если же L и K пропорциональны N , то первый порядок ошибки стремится к нулю.

Сохранение RMSE

Обозначим $RMSE = \sqrt{\frac{1}{N} \sum_{l=1}^N (f_l^{(1)})^2}$ для ряда $\mathbf{X} = \mathbf{S} + \mathbf{R}$.³

Возмущение для выброса $a + ib$ можно записать как $\mathbf{R} = a\mathbf{G} + ib\mathbf{G}$, где $\frac{1}{a} \text{Re}(\mathbf{R}) = \frac{1}{b} \text{Im}(\mathbf{R}) = \mathbf{G}$.

Утверждение 3. Пусть сигнал \mathbf{S} удовлетворяет условиям теоремы 1.

³ не уверен, что этот раздел вообще нужен

Тогда $RMSE$ для ряда с сигналом S и выбросом $a + ib$, и ряда с сигналом S и выбросом $a^* + ib^*$, т.ч. $|a^* + ib^*| = |a + ib|$, совпадают.

Доказательство. $R = aG + ibG$

По теореме 1 и формуле (3.1)

$$f_l^{(1)} = a\mathcal{H}(G, \text{Re}(S)) + ib\mathcal{H}(G, \text{Im}(S)) = c_l(a + ib).$$

Для ряда с сигналом S и выбросом $a + ib$

$$RMSE = |a + ib| \sqrt{\frac{1}{N} \sum_{l=1}^N c_l^2}$$

Рассмотрим $a^* + ib^*$, такое что $|a^* + ib^*| = |a + ib|$.

Для ряда с сигналом S и выбросом $a^* + ib^*$

$$RMSE = |a^* + ib^*| \sqrt{\frac{1}{N} \sum_{l=1}^N c_l^2} = |a + ib| \sqrt{\frac{1}{N} \sum_{l=1}^N c_l^2}.$$

□

3.2. Численное сравнение первого порядка ошибки и полной ошибки оценивания сигнала

3.2.1. Случай зашумленных гармоник

Сигнал

$$s_l = \cos(2\pi l/10) + i \cos(2\pi l/10 + \pi/4),$$

параметры $\sigma^2 = 0.01$, $N = 9$, $L = 5$.

Результат для одной из реализаций шума представлен на рис. 3.1.

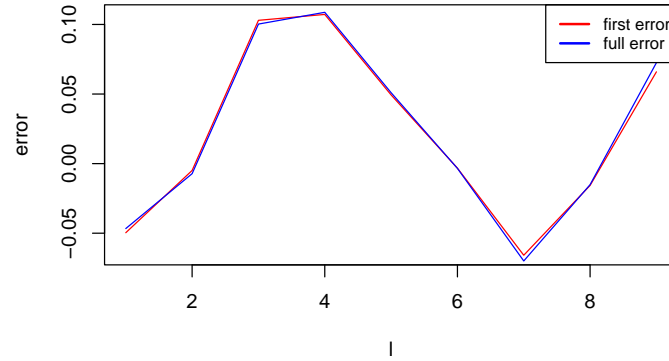


Рис. 3.1. Вещественные части первого порядка и полной ошибок.

Из графика видно, что ошибки практически совпадают даже при маленьких L и N . Аналогичные численные эксперименты подтверждают, что для комплексной экспоненты также есть такое совпадение⁴.

3.2.2. Случай константных сигналов с выбросом

Был рассмотрен пример с сигналом $s_l = 1 + i1$, с возмущением в виде выброса $a_1 + ia_2 = 10 + i10$ на позиции $k = L - 1$.

Результаты представлены в таблице 3.1.

Таблица 3.1. Максимальное различие первого порядка и полной ошибок.

N	50	100	400	1600
$L = N/2$	0.1313	0.0419	0.0033	0.0002
$L = 20$	0.3074	0.1965	0.5655	0.6720

Аналогичные численные эксперименты показывают, что при расположении выброса в середине ряда результаты качественно совпадают, при $L = N/2$ различие стремится к 0, при $L = 20$ не стремится к 0⁵.

Численные результаты показывают, что для случая зашумленных гармоник первый порядок адекватно оценивает полную ошибку восстановления сигнала в каждой

⁴ надо ли приводить?

⁵ надо ли приводить?

точке при любых рассматриваемых параметрах сигналов.

Однако для случая возмущения в виде выброса это верно, только когда L и K пропорциональны N .

Все численные результаты были получены при помощи пакета [13].

Заключение

В работе были приведены и исследованы два обобщения робастных вариантов метода SSA на комплексно-значный случай.

Был проведён обзор двух известных подходов к построению робастных версий SSA: замена проекции по норме \mathbb{L}_2 на проекцию по норме \mathbb{L}_1 и на взвешенную проекцию по норме \mathbb{L}_2 и их имплементация на комплексный случай.

Работа методов была показана на нескольких примерах, подтверждающих эффективность робастных модификаций, в сравнении с Complex SSA для рядов с выбросами. Все рассматриваемые модификации были реализованы на R.

В работе удалось подвести теоретическую базу под имеющиеся ранее численные результаты ([12]) по сравнению CSSA и SSA для двух зашумленных гармоник с одинаковой частотой и сдвигом, не кратным $\pi/2$. Для зашумленной комплексной экспоненты был получен более общий, нежели имеющиеся ранее, численный результат. Результаты показывают, что только в случае сигнала в виде комплексной экспоненты применение CSSA имеет смысл с точки зрения уменьшения ошибки восстановления сигнала.

Для константного ряда с выбросами был получен явный вид первого порядка ошибок оценки сигнала в каждой точке.

Для обоих случаев было численно исследовано соотношение между первым порядком ошибки и полной ошибкой. В случае случайного возмущения оказалось, что первый порядок ошибки практически совпадает с полной ошибкой. Однако в случае неслучайного возмущения выбросом это не так и требуются дополнительные условия на пропорциональность длины окна L длине ряда N .

Список литературы

1. А. Третьякова. Робастные варианты метода анализа сингулярного спектра : магистерская работа ; Санкт-Петербургский Государственный Университет. — Санкт-Петербург, 2020.
2. V. Nekrutkin. Perturbations in SSA. — 2008. — Manuscript.
3. Е. Власьева. Исследование ошибок восстановления в методе «Гусеница» с помощью теории возмущений : дипломная работа ; Санкт-Петербургский Государственный Университет. — Санкт-Петербург, 2008.
4. N. Golyandina, V. Nekrutkin, A. Zhigljavsky. Analysis of Time Series Structure: SSA and Related Techniques // Chapman&Hall/CRC. — 2011. — P. 1–78.
5. Д. Степанов, Н. Голяндина. Варианты метода "Гусеница"-SSA для прогноза многомерных временных рядов. // Труды IV Международной конференции "Идентификация систем и задачи управления" SICPRO'05. — Москва. — 2005. — С. 1831–1848.
6. K. Qifa, K. Takeo. Robust L1 Norm Factorization in the Presence of Outliers and Missing Data by Alternative Convex Programming // Proceedings of IEEE Conference on Computer Vision and Pattern Recognition (CVPR 2005). — 2005. — June.
7. Solving Weighted Least Squares (WLS) problems on ARM-based architectures / J. Belloch, B. Bank, F. Igual, E. Quintana-Ortí, and A. Vidal // The Journal of Supercomputing. — 2017. — 01. — Vol. 71. — P. 530–542.
8. K. Chen, M. Sacchi. Robust reduced-rank filtering for erratic seismic noise attenuation // GEOPHYSICS. — 2015. — 01. — Vol. 80. — P. V1–V11.
9. T. Kato. Perturbation theory for linear operators. — Springer-Verlag, 1966.
10. V. Nekrutkin. Perturbation expansions of signal subspaces for long signals // Statistics and Its Interface. — 2010. — Vol. 3. — P. 297–319.
11. А. Константинов. Некоторые задачи анализа временных рядов (теория методов "Singal Subspace") : курсовая работа ; Санкт-Петербургский Государственный Университет. — Санкт-Петербург, 2018.
12. Multivariate and 2D extensions of singular spectrum analysis with the Rssa package / N. Golyandina, A. Korobeynikov, A. Shlemov, and K. Usevich // Journal of Statistical Software. — 2015. — Vol. 67(2). — P. 1–78.

13. Rssa: A collection of methods for singular spectrum analysis. — <http://CRAN.R-project.org/package=Rssa>. — 2021. — R package version 1.04.
14. Н. Голяндина. Метод «Гусеница»-SSA: анализ временных рядов: Учеб. пособие. — Санкт-Петербург : ВММ, 2004.
15. J. P. Brooks, S. Jot. pcaL1: An Implementation in R of Three Methods for L1-Norm Principal Component Analysis. — 2012. — unpublished.
16. L1-Norm Principal-Component Analysis of Complex Data / N. Tsagkarakis, P. Markopoulos, G. Sklivanitis, and D. Pados // IEEE Transactions on Signal Processing. — 2018. — 06.
17. N. Golyandina, A. Korobeynikov, A. Zhigljavsky. Singular spectrum analysis with R. — Springer-Verlag Berlin Heidelberg, 2018.